波状跳水の流況特性に対する水路勾配の影響

日本大学理工学部 正会員 ○後藤 日本大学理工学部 正会員 安田 陽一 日本大学理工学部 正会員 大津 岩夫

波状跳水は、射流のフルード数の値が1近くで形成され、波状水面を伴いながら射流から常流へ遷移する現象である。 波状跳水は、堰などの落差を伴う構造物やゲートなどの下流側で観察されることが多い。水工設計上・河川管理上、波 状跳水の特性を知ることは意義がある。従来、著者らは長方形断面の水平水路上に形成される波状跳水に関し検討を行 い、その特性を系統的に明らかにした^{1)~5)}。(図 - 1)。 不等流(H3型)

ここでは、長方形断面水路に形成される波状跳水の水理特性に対す 場合と水平水路の場合との間で波状跳水の流況・形成条件・波の振幅 や波長などの特性について比較を行い勾配の影響を示した。

実験 実験は、可変勾配式長方形断面水路(B=80cm; B:水路幅)を用いて行 った。急勾配水路の場合、水路勾配を i=1/80~1/330 の範囲で変化させた (図 - 1)。この場合、流入射流は等流状態となっている。また、水平水 路の場合、スルースゲートを用いて射流を形成させた。

波状跳水の水面形を把握するために、サーボ式波高計を台車に載せ一 図-1 水平水路および急勾配水路での波状跳水の形成 定速度(=0.114m/s)で牽引し測定した⁴⁾。

ここでは、跳水始端で乱流境界層が十分発達した波状跳水⁴⁾を対象とし、 波状跳水の形成に対して水路幅(アスペクト比)の影響および粘性の影響が 無視できる条件($B/h_1 \ge 10$, $Re \ge 6.5 \times 10^4$)のもと実験を行った ^{2),3)}($Re=v_1h_1/v$; v_I :跳水始端の断面平均流速, h_I :跳水始端水深, v:動粘性係数)。

流況 波状跳水の流況は、流入射流のフルード数 F₁ および水路勾配よって 次のように特徴付けることができる[$F_l=v_l/(gh_l)^{1/2}$; g:重力加速度]。

1〈F, 〈1.2 の場合 二次元的な波状水面が形成される(Nonbreaking undular jump;図-3(a))。この場合、水面の凹凸は小さい。なお、水平水路の場合、 跳水の形成領域が短いため波状水面の形成は1、2波程度となる。

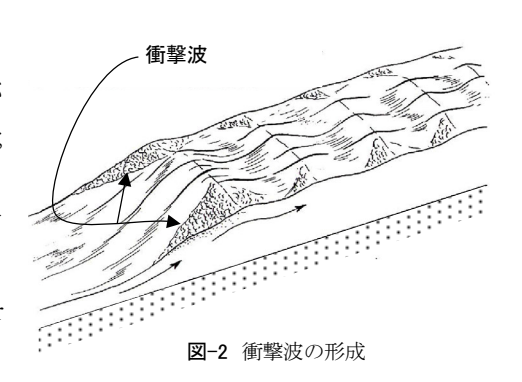
1.2≤F₁≤F₁imit の場合 顕著な波状水面が形成され水面の凹凸が下流側に続 く (Nonbreaking undular jump;図 - 3(b))。定常的な波状水面が形成されてい る領域においては、水平水路の場合、一定の波長を有する波状水面が形成 される。一方、急勾配水路の場合、下流に進むにつれて波長は徐々に短く なる。

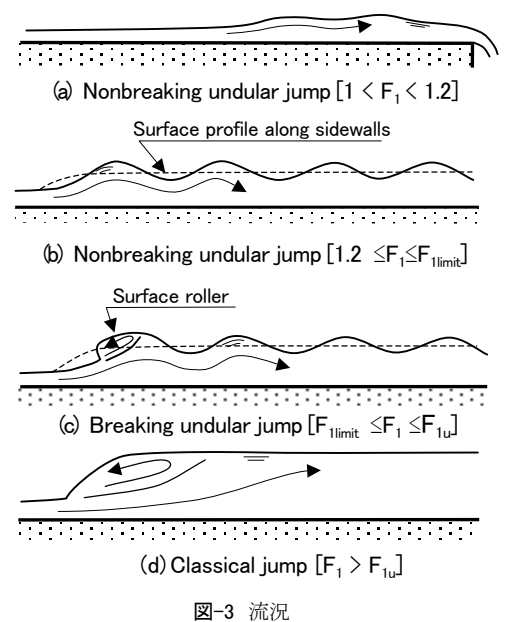
 $F_{tlimit} \leq F_1 \leq F_{tu}$ の場合 一波目が砕波するものの、流れが水面に沿うため水 面の凹凸が下流側に続く (Breaking undular jump; 図 - 3(c))。水平水路と急 勾配水路との違いは Nonbreaking undular jump と同様に波長の変化として 見られる。

 $F_1 > F_1$ の場合 典型的な跳水 (Classical jump) が形成される (図 - 3(d))。 この場合、急勾配水路の場合と水平水路の場合とで大きな違いは認められ ない。

波状跳水の形成条件 水平水路の場合、 F_{Ilimit} の値は 1.78 となり $^{4),5)}$ 、 F_{Iu} の値は2.1となる5。急勾配水路の場合、流入射流を等流とした実験では、 F_{Ilimit} の値は $1.5\sim1.6$ となり、 F_{Iu} の値は 2 近くとなる。すなわち、水平水

Fully developed Inflow condition





キーワード:跳水,波状跳水,開水路流,河川環境,急勾配水路

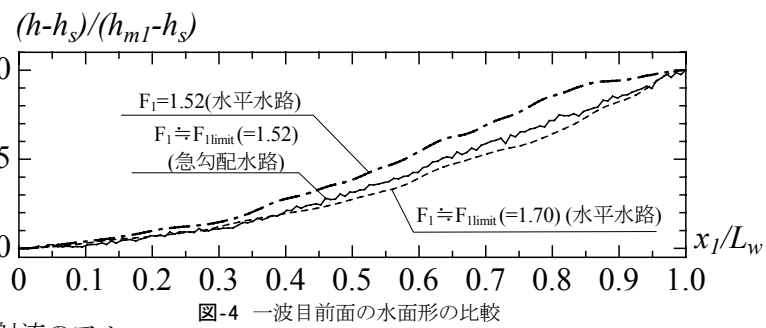
連絡先:〒101-8308 東京都千代田区神田駿河台 1-8 FAX. 03-3259-0409

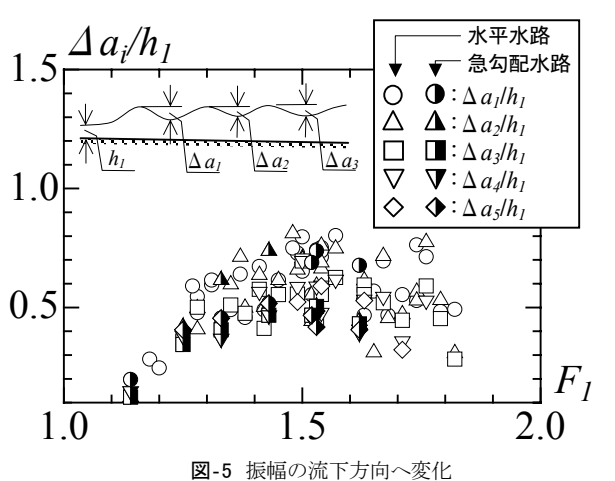
路の場合に比べて急勾配水路の場合の方が F_{Ilimit} および F_{Iu} の値は小さくなる。図 - 4 は、水平水 1.0 路の場合と急勾配水路の場合の一波目前方の水 面形を比較した一例である。図 - 4 に示される 0.5 ように、 $F_I = F_{Ilimit}$ のもとで比較すると急勾配水 路の場合(図中実線)と水平水路の場合(図中破 0 線)とで一波目山頂付近の水面勾配はほぼ同じ

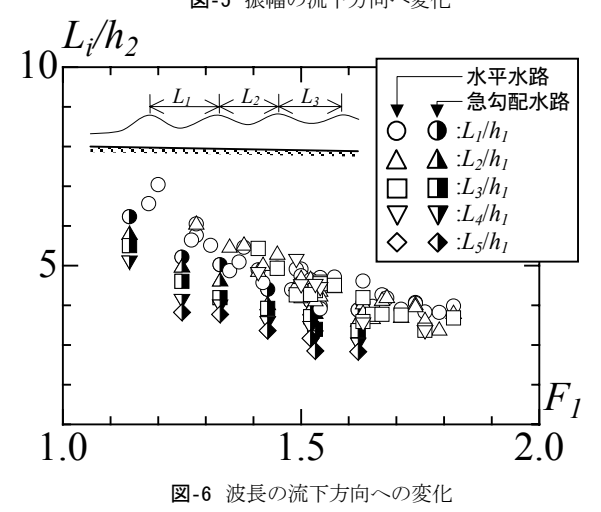
となっている。また、図 - 4 に示されるように流入射流のフルード数を同一にして $(F_I=1.52)$ 水平水路の場合(図中一点鎖線)と急 勾配水路の場合(図中破線)とを比較してみると、急勾配水路の方が水平水路の場合に比べて一波目山頂付近の水面勾配が大きい。すなわち、流入射流のフルード数が同じであったとしても急勾配 1.0 水路の方が水平水路の場合に比べて一波目前方の水面勾配が大きくなるため一波目が砕波し易くなり、急勾配水路の場合の F_{Ilimit} の値は水平水路の場合の値よりも小さくなったものと推論 0.5 される $(h_s:$ 衝撃波始端の水深, $x_I:$ 衝撃波始端から水路床に沿った流下方向への長さ, $L_w:$ 衝撃波始端から一波目山頂部までの長さ, $h_{mI}:$ 一波目山頂部での水深, $h:x_I=x_I$ での水深)。

<u>波の振幅・波長</u> 図 - 5、6 は流入射流のフルード数 F_I による波状跳水の波の振幅および波長の変化を示したものである。振幅の無次元量 $\Delta a_i/h_I$ は、図 - 5 に示されるように、 F_I の変化に対してピーク値を有する変化を示す($i=1\sim5$)。また、水路勾配による $\Delta a_i/h_I$ の違いは小さく、水深方向の水理量に対して勾配の影響は小さいものと推定される。波長 L_i/h_2 については、図 - 6 に示されるように、 F_I の増加に伴い L_i/h_2 の値が小さくなる[ここに、 $h_2=h_I$ {(8 F_I^2+1)0.5-1}/2 である]。また、同一な F_I に対して水平水路の場合に比べて急勾配水路の場合、 L_i/h_2 の値は小さくなる傾向を示す。特に、下流側に進むにつれて波長が小さくなる。このことは、急勾配水路の場合と水平水路の場合の流下方向の水面形を表した図 - 7 からも理解される(x_2 :跳水始端から水路床に沿った流

下方向への長さ、 $h:x_2=x_2$ での水深)。これは、急勾配水路の場合、流下方向に対して波の平均水深(山と谷での水深の平均値)が徐々に大きくなるため、水平水路の1.0場合に比べて水面勾配が大きくなり波長が短くなったものと考えられる。なお、6~7波目以降については水平水路の場合と同様に水面の凹凸は生じているが、その凹凸は小さく時間的に不規則である。







(h-h₁)/(h_{m1}-h₁)

F₁=1.52 (急勾配水路)

0

5

10

1.0

F₁=1.52 (水平水路)

区 7

変状跳水の水面形の一例

参考文献

- 1) Ohtsu, I., Yasuda, Y., and Gotoh, H. (1995), Characteristics of Undular Jumps in Rectangular Channels, Proc. of the 26th IAHR Congress, 1C14, London, UK.
- 2) 後藤, 安田, 大津 (1998), 波状跳水の形成条件に対するレイノルズ数·アスペクト比の影響, 水工学論文集, 土木学会, 第43巻, pp.299~304.
- 3) 後藤, 安田, 大津 (2001), 波状跳水の流況特性, 水工学論文集, 土木学会, 第45巻, pp.439~444.
- 4) Ohtsu, I., Yasuda, Y. and Gotoh, H. (2001), Hydraulic Condition for Undular-Jump formations, Journal of Hydraulic Research, IAHR, 39(2), pp.203~209.
- 5) Ohtsu, I., Yasuda, Y. and Gotoh, H. (2002), Reply to the discussion of "Hydraulic Condition for Undular-jump Formations" by Chanson, H., *Journal of Hydraulic Research*, IAHR, 40(3), pp.382~384.